

УДК 544.016.2:(546.683+546.817+546.221)

**ФІЗИКО-ХІМІЧНА ВЗАЄМОДІЯ У СИСТЕМІ  $Tl_2S-PbS$** **Філеп М.Й.<sup>1</sup>, Сабов М.Ю.<sup>1</sup>, Барчій І.Є.<sup>1</sup>, Соломон А.М.<sup>2</sup>**<sup>1</sup>Ужгородський національний університет, хімічний факультет,  
вул. Підгірна, 46, м. Ужгород, 88000<sup>2</sup>Інститут електронної фізики НАН України, вул. Університетська, 21, м. Ужгород, 88017

Сполуки  $A^{IV}B^{VI}$  – перспективні напівпровідникові матеріали для створення термоелектричних пристроїв, які працюють в інтервалі температур від кімнатної до 800-900 К [1]. Стрімкий розвиток напівпровідникових технологій потребує все новіших та ефективніших матеріалів.

Ефективність термоелектричного матеріалу визначається основними термоелектричними параметрами: коефіцієнтом термо-Е.Р.С. ( $\alpha$ ), питомою електропровідністю ( $\sigma$ ) та теплопровідністю ( $\chi$ ), які поєднуються між собою виразом для розрахунку добротності термоелектричного матеріалу –  $Z = \alpha^2 \sigma / \chi$ . Для досягнення високих значень термоелектричної добротності необхідно створити матеріал, який володіє високою електропровідністю та термо-ЕРС і низькою теплопровідністю. Так як величина електро- і теплопровідності залежить від концентрації носіїв заряду, то на сьогоднішній день важливим напрямком у покращенні термоелектричної добротності матеріалів є пониження їх теплопровідності шляхом використання сполук важких металів [2,3]. Пов'язано це в першу чергу з тим, що на атомах важких металів розсіювання фононів є більш ефективне, наслідком чого є зменшення теплопровідності  $\chi$  з одночасним збільшенням  $\alpha(\sigma)$ .

Останні роки активно проводяться дослідження властивостей бінарних сполук  $A^{IV}B^{VI}$  легованих важкими металами Sb, Bi, Tl та їх халькогенідами [3]. У даних системах можливе утворення тернарних сполук, які володіють подібними, а інколи і кращими термоелектричними параметрами [4].

Серед  $PbB^{VI}$ -вмісних систем найменш дослідженою є система  $Tl_2S-PbS$ . Відомості щодо даної системи є обмеженими та суперечливими. Автори [5] у своїх дослідженнях вказують на існування сполуки  $Tl_6PbS_4$ , яка утворюється за перитектичною реакцією  $L+PbS \leftrightarrow Tl_6PbS_4$  при температурі 738 К. Між сполуками  $Tl_6PbS_4$  та  $Tl_2S$  існує евтектика з координатами 13 мол.% PbS, 723 К. Авторами [6] не підтверджено існування сполуки  $Tl_6PbS_4$  і вказується на існування фази  $Tl_4PbS_3$ , яка утворюється за перитектичною реакцією  $L+PbS \leftrightarrow Tl_4PbS_3$  при температурі 733 К та зазнає поліморфного перетворення при температурі ~ 693 К. Сполука  $Tl_4PbS_3$  утворює евтектику (~10 мол. % PbS, 689 К) з  $Tl_2S$ . А також на основі  $Tl_2S$  утворюється ~9 мол.% твердих розчинів при температурі евтектики [6]. Кристалічна структура проміжних тернарних сполук  $Tl_6PbS_4$  та  $Tl_4PbS_3$  невідома.

У зв'язку з цим виникла необхідність уточнення характеру фізико-хімічної взаємодії системи  $Tl_2S-PbS$ .

Сполуки  $Tl_2S$  та  $PbS$  синтезували із елементарних компонентів ( $Tl_2O$ ,  $PbO$ ) шляхом сплавлення у вакуумованих до 0.13 Па кварцових ампулах. Синтез  $Tl_2S$  та  $PbS$  проводили в однозонних вертикальних печах. Режим синтезу підбирали на основі Т-х діаграми стану компонентів, які приймали участь в хімічній взаємодії.

Отримані бінарні халькогеніди були ідентифіковані методами диференційно-термічного (ДТА) та рентгенівського фазового аналізу (РФА) шляхом

співставлення експериментальних та літературних даних.

Для дослідження фазових рівноваг у системі  $Tl_2S-PbS$  було синтезовано 17 сплавів. Компонівку вихідних речовин здійснювали з точністю до  $2 \times 10^{-3}g$  на електричних вагах AD200. Необхідні кількості вихідних елементарних компонентів поміщали в кварцові ампули, вакуумували до 0,133 Па та запаювали. Синтез здійснювали у вертикальних печах із швидкістю нагріву 40-60 К/год. Процес синтезу проходив у три етапи: нагрівання до 725 К (витримка 48 годин), нагрівання до максимальної температури синтезу 1200 К (витримка при ній 36 годин) та відпал зразків протягом 168 годин при температурі 640 К.

Дослідження отриманих зразків проводили методами ДТА [7] (комбінована хромель-алюмелева термопара, двох координатний самописець) та РФА [8] (дифрактометр ДРОН-4.,  $CuK_{\alpha}$ -випромінювання).

На дифрактограмах зразків системи  $Tl_2S-PbS$  знайдено три системи рефлексів, які відповідають кубічній ( $PbS$ ), тригональній ( $Tl_2S$ ) та невідомій фазі (імовірно якою є тернарна сполука  $Tl_4PbS_3$ ). Так на дифрактограмах зразків, які знаходяться у концентраційному інтервалі 0–60 мол.%  $Tl_2S$  чітко видно дві системи рефлексів: кубічної та невідомої, а в інтервалі концентрацій 70–95 мол.%  $Tl_2S$  – тригональної та невідомої фази. За допомогою програми UnitCell [9] було розраховано параметри ґратки окремих фаз у відповідних концентраційних інтервалах (рис. 1.).

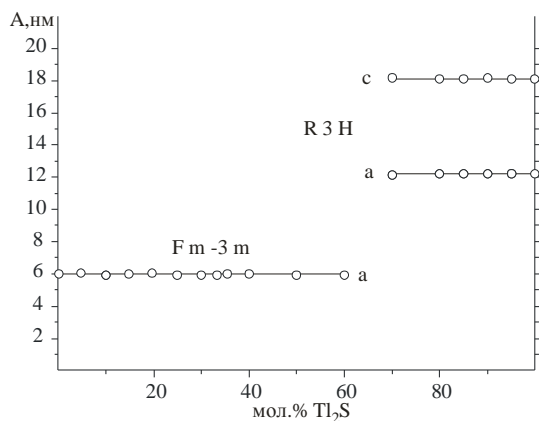
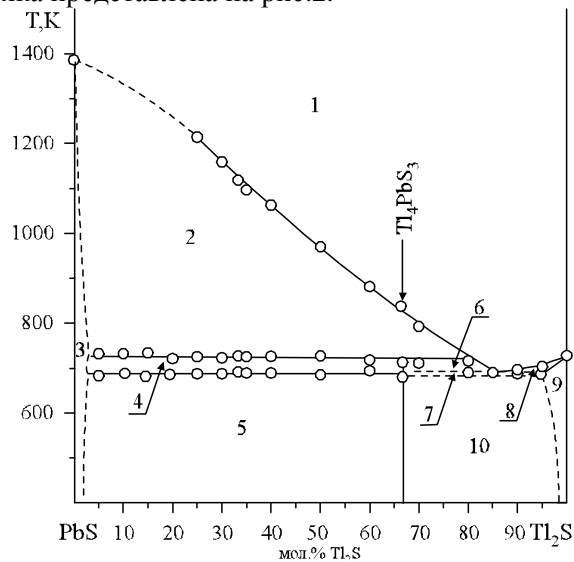


Рис. 1. Зміна параметрів кубічної ( $PbS$ ) та тригональної ( $Tl_2S$ ) фаз у системі  $Tl_2S-PbS$ .

Сталість параметрів ґратки вказує на вузькі області утворення граничних твердих розчинів біля вихідних бінарних халькогенідів, а також на відсутність твердих розчинів всередині системи.

За результатами ДТА та РФА побудовано діаграму стану системи  $Tl_2S-PbS$ , яка представлена на рис.2.



- |                              |                             |
|------------------------------|-----------------------------|
| 1-L;                         | 6-L + втм- $Tl_4PbS_3$ ;    |
| 2-L+ $PbS$ ;                 | 7-втм- $Tl_4PbS_3+Tl_2S$ ;  |
| 3- $PbS$ ;                   | 8-L+ $Tl_2S$ ;              |
| 4- $PbS$ +втм- $Tl_4PbS_3$ ; | 9- $Tl_2S$ ;                |
| 5- $PbS$ +нтм- $Tl_4PbS_3$ ; | 10-нтм- $Tl_4PbS_3+Tl_2S$ ; |

Рис. 1. Діаграма стану системи  $Tl_2S-PbS$

У системі  $Tl_2S-PbS$  формується одна проміжна тернарна фаза –  $Tl_4PbS_3$ . Дана сполука утворюється за перитектичною реакцією  $L+PbS \leftrightarrow Tl_4PbS_3$  при температурі 725 К та зазнає поліморфного перетворення при температурі ~689 К.

Ліквідус системи складається із трьох гілок первинної кристалізації: бінарного  $PbS$  (0-80 мол. %  $Tl_2S$ ), втм-  $Tl_4PbS_3$  (80-85 мол. %  $Tl_2S$ ) та бінарного  $Tl_2S$  (80-100 мол. %  $Tl_2S$ ). Гілки первинних кристалізацій перетинаються у двох нонваріантних точках: евтектичній (рівноважний процес  $L \leftrightarrow Tl_2S +$  втм-  $Tl_4PbS_3$ , 685 К) та перитектичній (рівноважний процес  $L + PbS \leftrightarrow$  втм-  $Tl_4PbS_3$ , 725 К).

Внаслідок близьких значень температур поліморфного перетворення та нонваріантної евтектичної горизонталі на термограмах зразків у інтервалі концентрацій

70-80 мол.%  $Tl_2S$  спостерігається недостатня кількість ендотермічних ефектів.

Відомостей щодо кристалічної структури отриманої тернарної сполуки у літературі не знайдено. Тому нами здійснено спробу встановити кристалічну структуру даної сполуки. У зв'язку з тим, що сполука  $Tl_4PbS_3$  зазнає поліморфного перетворення необхідно було отримати два зразки – низько- та високотемпературну модифікації. Нами було здійснено синтез двох зразків, які

відпалювались при різних температурах: 625 К та 775 К відповідно. Обидва зразки були загартовані у льодяній воді.

Фазовий склад сплавів ідентифікували співставленням експериментальних дифрактограм із розрахованими за літературними даними дифрактограмами  $Tl_2S$  та  $PbS$ . За допомогою програми PowderCell [10] було проіндексовано та визначено системи рефлексів, які відповідають невідомим фазам та вихідним сполукам.

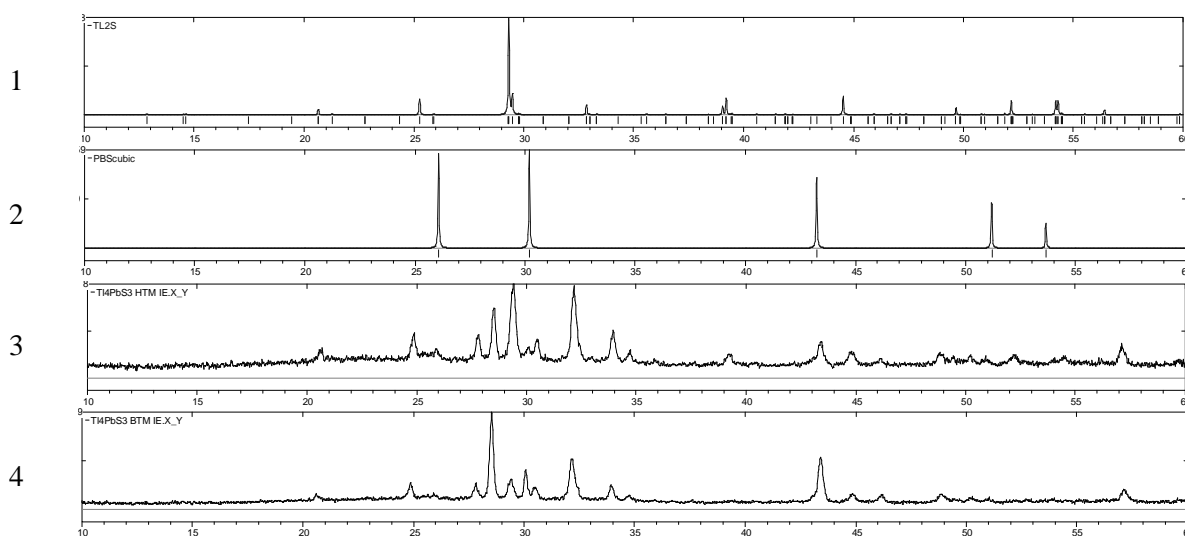


Рис.2. Дифрактограми: розраховані за літературними даними: 1– $Tl_2S$  та 2– $PbS$ ; експериментальні: 3–нТМ- $Tl_4PbS_3$  та 4–вТМ- $Tl_4PbS_3$

Використовуючи програму DICVOL 04 [11] було розраховано параметри кристалічної ґратки та встановлено можливі

сингонії досліджуваних фаз. Результати розрахунків представлені у табл.1.

Таблиця 1. Параметри кристалічної ґратки нТМ- $Tl_4PbS_3$  та вТМ- $Tl_4PbS_3$

Фаза	Сингонія	Параметри ґратки			
		a, Å	b, Å	c, Å	V, Å <sup>3</sup>
нТМ- $Tl_4PbS_3$	Тетрагональна	8.346	8.346	12.526	872.37
вТМ- $Tl_4PbS_3$	Ромбічна	8.916	8.795	8.211	643.90

Враховуючи аналогію у кристалічній структурі між іншими сполуками типу  $Tl_4SnS_3(Se_3, Te_3)$  та  $Tl_4PbSe_3(Te_3)$  і вигляд експериментальної дифрактограми зразка нТМ- $Tl_4PbS_3$ , то з високою імовірністю можна стверджувати про те, що дана сполука кристалізується у об'ємноцентрованій ґратці.

Як правило (але не завжди), високотемпературна модифікація володіє вищою сингонією, ніж низькотемпературна

[11]. У даному випадку це правило не справджується. Імовірним поясненням цьому можуть слугувати те, що при переході від низькотемпературної (тетрагональна сингонія) до високотемпературної модифікації (ромбічна сингонія) структура  $Tl_4PbS_3$  зазнає деформаційного (дистерсійного) перетворення (рис.3).

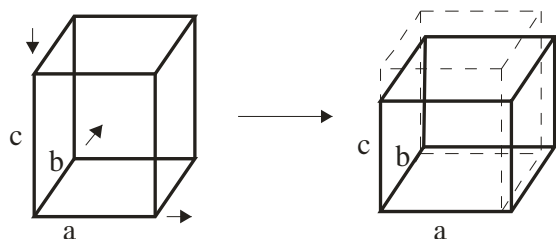


Рис. 3. Схема деформаційного переходу від тетрагональної до ромбічної сингонії

Дане перетворення передбачає перехід однієї структури в іншу за рахунок деформації вихідної структури у певному напрямку [11]

Також, можливо, внаслідок певних енергетичних або розмірних факторів (великий енергетичний бар'єр переходу між модифікаціями, розміри атомів або координаційних поліедрів та ін.) тетрагональна сингонія не має змоги повністю деформуватися у більш симетричну кубічну сингонію. На користь даного твердження може бути використаний той факт, що невелика різниця між параметрами елементарної ромбічної комірки втм- $Tl_4PbS_3$  дає можливість розглядати її як деформовану кубічну.

Більш детальне вивчення кристалічної структури втм- $Tl_4PbS_3$  ускладнюється незначним температурним інтервалом (~36 К) існування самої високотемпературної модифікації.

## Література

1. Д. И. Блецкан. Кристаллические и стеклообразные халькогениды Si, Ge, Sn и сплавы на их основе // Ужгород: БАТ "Видавництво "Закарпаття"-Т.1.-2004.-С.292.
2. Katherine R. Stevens. // Nanoscape.- 2010.-V.7.- Issue 1.-P.52-58.
3. Terry M.Tritt and M.A. Subramanian. // MRS BULLETIN.-2006.-Vol. 31.- p. 188-164.
4. Малаховська-Росоха Т. О. Системи Tl-Sn(Pb)-S(Se, Te): фазові рівноваги, одержання монокристалів тернарних сполук та їх властивості: автореф. дис. на здобуття наук. ступеня канд. хім. наук: спец. 02.00.01 "Неорганічна хімія" /Малаховська-Росоха Т. О.- Ужгород, 2010. – 19 с.
5. Латыпов З.М., Фаизуллина З.М., Щипачова В.Е. // Журн. неорган. материалы.-1979.-Т. 15.- №5.-с. 702-703.
6. Али Аларик Готук, М.Б. Бабанлы, А.А. Кулиев. // Журн. неорган. материалы. – 1979. - Т. 15, №8. - С. 851-853.
7. Hatakeyama T., Liu Zhenhai.-Handbook of thermal analysis.- Wiley.– 1998.–471 p.
8. David W., et al. Structure determination from powder diffraction data // OUP.-2006.-358 p
9. Holland T.J.B., S.A.T. Redfern. // Mineralogical Magazine. –1997. – V.61. – P.65-77.
10. Печарский В.К.,Завалий П.Ю., Аксельруд Л.Г. и др. // Вестник Львовского ун-та. Сер. хим.– 1984.– Вып.25.– 9 с..
11. Кузьмичева Г.М.Основные кристаллохимические категории. Учебное пособие.-Москва.-2001 г.-40 с.

## PHYSICO-CHEMICAL INTERACTION IN $Tl_2S$ -PbS SYSTEM

Filep M.J., Sabov M.Yu., Barchij I.E., Solomon A.M.

The physico-chemical interaction in  $Tl_2S$ -PbS system was investigated by DTA and XRD methods. The system  $Tl_2S$ -PbS is quasibinary. It is characterized by the eutectic type of interaction. Existing of  $Tl_4PbS_3$  compound are confirmed.  $Tl_4PbS_3$  compound is formed by peritectic reaction and has a polymorph change. The low temperature modification relate to the tetragonal system and the high temperature modification relate to the orthorhombic system.